
НАВЧАЛЬНО-МЕТОДИЧНІ РОЗРОБКИ

УДК [621.1.016+536.2](075.8)+536.7

Г.О. Сіренко, Л.В. Базюк, Я.І. Артус

Тепло- і масообмін у хемічній технології. Лекція. «Теплові та холодникові устави: II. Холодникові устави»

*Прикарпатський національний університет імені Василя Стефаника,
вул. Шевченка, 57, м. Івано-Франківськ, 76025, Україна*

Спеціальний курс лекцій «Тепло- і масообмін у хемічній технології», розроблений на основі більшого за обсягом курсу «Технічна термодинаміка та теплопередача», є однією з базових дисциплін у хемічній технології і займає проміжне місце між хемічною і технічною термодинамікою та процесами і апаратами хемічної технології. Спеціальний курс лекцій адресується студентам спеціальності «Хемія» університетів класичного типу і буде корисний викладачам, які читають курс лекцій «Процеси і апарати хемічної технології», та науковцям, які досліджують теплофізичні властивості газів, рідин і твердих тіл. Літ. джерел 26.

Друкується за рішенням кафедри неорганічної та фізичної хемії (протокол № 7 від 2 березня 2011 року).

Ключові слова: холодникові устави, холодоагент, холодниковий коефіцієнт, наднизьке охолодження, адсорбційна устава, пароежекторна устава.

Методична розробка постуила до редакції 11.03.2011; прийнята до друку 20.04.2011.

Розділ I

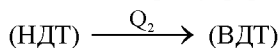
II. Цикли холодникових устав

2.1. Загальні положення.

Трансформатори (перетворювачі) тепла.

- Устави, у яких здійснюються перенесення енергії у формі тепла від джерел з низькою температурою T_{\min} (НДТ) до джерел з високою температурою T_{\max} (ВДТ) називають **устанами підвищення потенціалу тепла**.

- Процес перенесення енергії у формі тепла:



несамочинний і вимагає компенсаційного самочинного процесу – виконання роботи у зворотньому циклі:

$$Q_0 \xleftarrow{\Delta T} L_0$$

при наявності різниці температур ΔT між $T_1=T_{\max}$ та $T_2=T_{\min}$.

- Підвищення потенціалу тепла можливе при витраті енергії у будь-якій формі:

- 1) механічній;
- 2) електричній;
- 3) хемічній;
- 4) потоку газу або пари тощо.

- Схеми циклів трансформаторів тепла показано на рис. 1:

- 1) тепла помпа;
- 2) холодильник;
- 3) комбінований цикл.

На рис. 1 позначено:

I – компресор (машина для стискання пари);

II – конденсатор;

III – детандер (машина для розширення пари);

IV – випаровувач.

Температури:

T_1 – ВДТ;

T_2 – НДТ;

$T_{o.c.}$ – основного стану.

Ідеальний цикл Карно парового трансформатора тепла (зворотній цикл) у T-S-координатах зображено на рис. 2. На рис. 2 позначено:

Q_2 – кількість енергії у формі тепла, що відбирається від холодоагенту у випаровувач IV (Q_2 – холодовиробність);

Q_1 – кількість енергії у формі тепла, що відводиться в конденсаторі II;

aK – насичений (р) холодоагент у стані кипіння при певному тиску;

Ka' – суха насичена пара холодоагенту;

$Q_0 = Q_1 - Q_2$ – кількість енергії у формі тепла, що отримують у циклі.

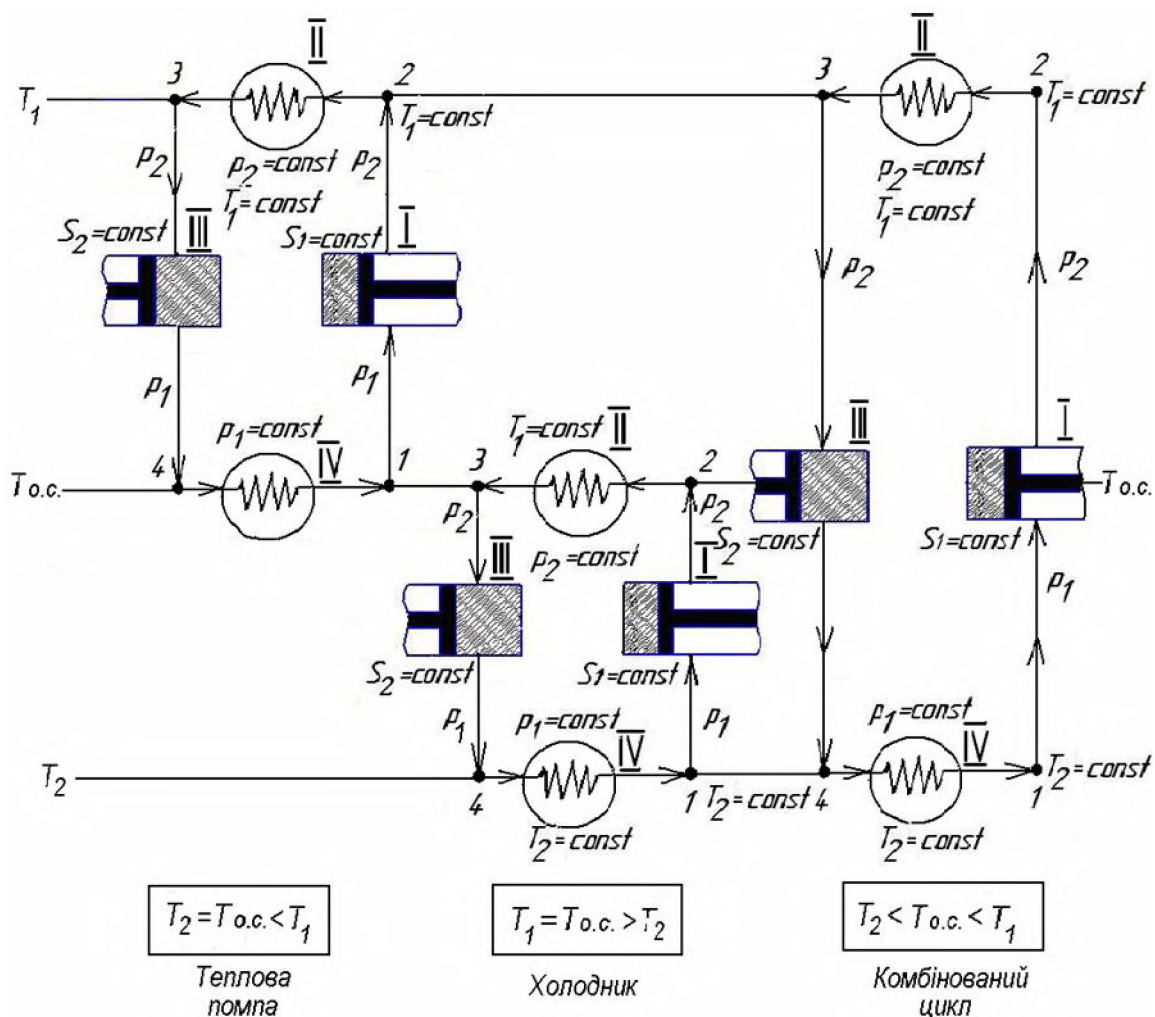


Рис. 1. Схеми трансформаторів тепла: I – компресор; II – конденсатор; III – детандер; IV – випаровувач; T_1 – температура верхнього джерела тепла; T_2 – температура нижнього джерела тепла; $T_{o.c.}$ – температура основного стану.

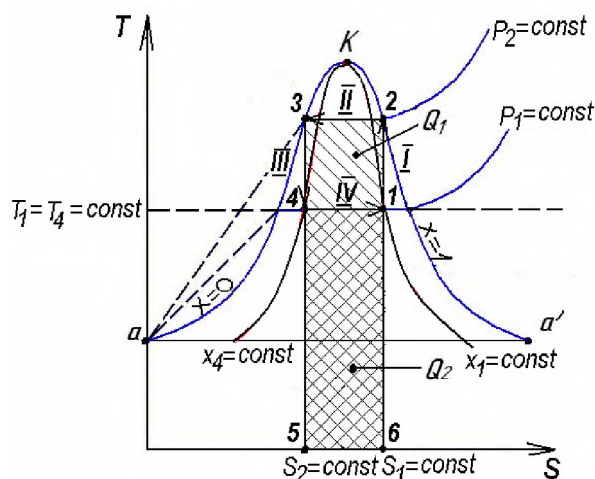


Рис. 2. Паровий трансформатор тепла за зворотнім циклом Карно у T - S -координатах.

2.2. Холодоагенти та вимоги до них.

2.2.1. Холодоагенти.

1. Для парових холодильникових установ використовують такі холодоагенти:

- неорганічні сполуки: H_2O , CO_2 , SO_2 , N_2O , NH_3 , SF_6 ,...;
- циклічні органічні сполуки, наприклад, октафлуорциклобутан C_4F_8 ;
- насичені вуглеводні: C_2H_6 , C_3H_8 , C_4H_{10} , $(CH_3)_3CH$, C_5H_{12} ;
- ненасичені вуглеводні, в тому числі й Cl -, Br -, F -похідні: C_2H_4 , $CH_2=CH_2$, $CH_2=CH-CH_3$, $CHCl=CHCl$, $CH_2=CF_2$, $CHCl=CF_2$, $CH_2=CHBr$;
- аліфатичні аміни: CH_3-NH_2 , $C_2H_5-NH_2$;
- кисневі органічні сполуки: C_2H_6O – диметилловий етер; $C_4H_{10}O$ – діетилловий етер; $HCOOCH_3$ – метилформіят;
- галоїдні сполуки насичених вуглеводнів C_mH_n , отриманих заміною атомів Гідрогену атомами F , Cl , Br («фреони») із загальною формулою: $C_mH_xF_yCl_zBr_k$ (F, Cl, Br – фреони): CCl_4 , $CFCl_3$, CF_2Cl_2 , CF_3Cl , CF_4 , CF_3Br , $CHFC_2$, CHF_2Cl , CHF_3 , CH_2Cl_2 , $CHCl_3$, CH_3Cl , $CFCl_2-CF_2Cl$, CF_2Cl-CF_2Cl , CF_2Cl-CF_3 , CH_3-CF_2Cl , CH_3-CF_3 , CH_3-CHF_2 , CH_3-CH_2Cl , $n-C_4H_{10}$.

Позначення фреонів:

- база фреону:

CH_4	1
C_2H_6	11
C_3H_8	21
C_4H_{10}	31
- справа пишуть число атомів Флуору:

CF_2Cl_2	фреон Ф-12
CCl_4	фреон Ф-10
$\text{C}_3\text{F}_4\text{Cl}_4$	фреон Ф-214
- при наявності атомів Н їх число додають до числа десятків:

CFCl_3	фреон Ф-11
CF_2Cl_2	фреон Ф-12
CHFCl_2	фреон Ф-21
CHF_2Cl	фреон Ф-22
- при наявності Вг додають букву В:

CF_2Br_2	фреон Ф-12В2.
--------------------------	---------------

2. Для газових холодильних устатків використовують такі холодоагенти:

N_2 , Ar , H_2 , He , O_2 , CH_4 , Ne , Kr , Xe , повітря.

3. Для абсорбційних холодильних устатків використовують такі холодоагенти:

- холодильні агенти (холодоагенти):
 NH_3 , $\text{CH}_3\text{-NH}_2$, H_2O , CHFCl_2 , CH_2Cl_2 , CH_3OH .
- абсорбенти:
 H_2O , LiNO_3 , H_2SO_4 , NaOH , KOH , LiBr , CaCl_2 , диметилетертетраетилен, гліколь, роданистий амоніак, наприклад, пара: холодоагент – абсорбент:
 $\text{NH}_3 - \text{H}_2\text{O}$; $\text{H}_2\text{O} - \text{LiBr}$; $\text{H}_2\text{O} - \text{NaOH}$; $\text{H}_2\text{O} - \text{CaCl}_2$.

4. Холодоносії для транспортування (трансформації) холоду:

- розсіл (ропа):
 $\text{NaCl} + \text{H}_2\text{O}$ ($t_{\text{тр.}} = -21,2^\circ\text{C}$);
 $\text{CaCl}_2 + \text{H}_2\text{O}$ ($t_{\text{тр.}} = -55^\circ\text{C}$).

2.2.2. Вимоги до холодоагентів:

- низький тиск конденсації;
- тиск випаровування (насичення) повинен бути більше атмосферного (боротьба з текучістю);
- максимально можливе тепло пароутворення (визначає холодовиробність Q_2);
- мінімальна теплоємність (зменшення втрат при дроселюванні);
- питомий об'єм пари повинен бути:
 - мінімальний – для поршневих компресорних устатків (зменшення габаритів);
 - максимальний – для турбокомпресорних устатків (підвищення внутрішнього к.к.д. холодильних устатків).
- мала в'язкість (для покращення теплообміну та зниження гідравлічних втрат), але дуже низька в'язкість небажана з-за текучості холодоагенту через ущільнення;
- холодоагент і олива для мащення не повинні розчинятися один в одному;
- вибухонебезпечність, негорючість, нетоксичність, екологічна безпека;
- хімічна стабільність і корозійна інертність щодо металевих конструкцій;
- недефіцитність; низька початкова вартість.

2.3. Парова компресійна холодильна устатка.

2.3.1. Одноступенева устатка.

На рис. 3 приведена схема циклу одноступеневої парової компресійної холодильної устатки.

Суха насичена пара холодоагенту при тиску p_1 після випаровувача IV ($\bullet 1$) стискається у компресорі I за адіабатним оборотним процесом $S_1 = \text{const}$ (процес $1 \rightarrow 2$) від тиску p_1 до p_2 . Після компресора I пара стає перегрітою і подається в конденсатор II, в якому за допомогою охолоджувальної рідини

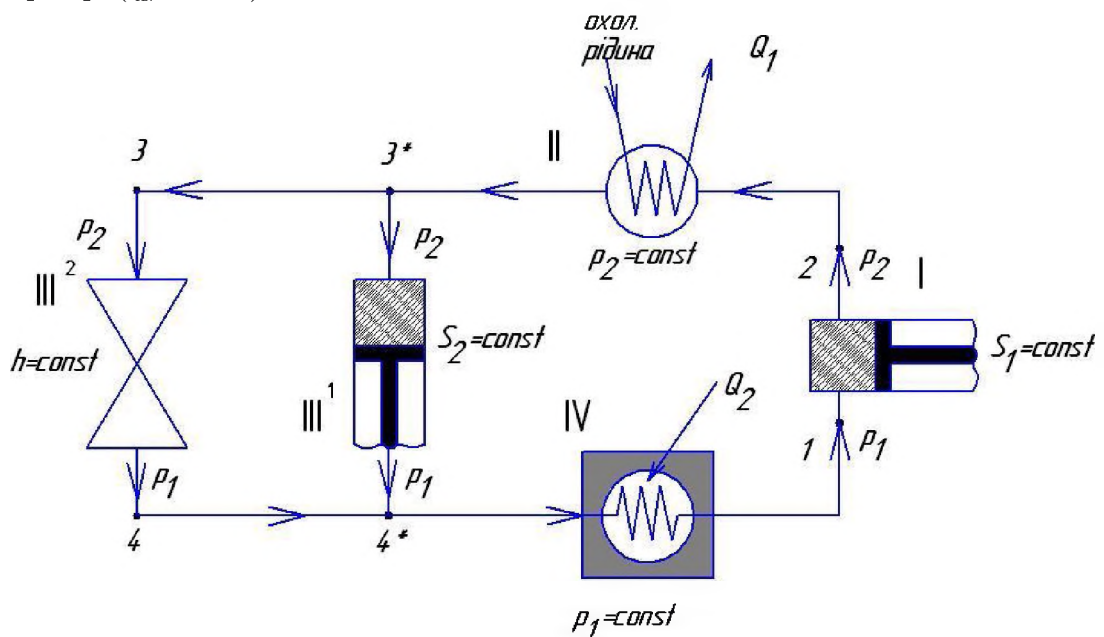


Рис. 3. Схема циклу одноступеневої парової компресійної холодильної устатки: I – компресор; II – конденсатор; III¹ – детандер; III² – дросель; IV – випаровувач.

за ізобарним процесом $p_2 = \text{const}$ (процес 2→3) відбувається охолодження перегрітої пари і конденсація її до насиченої при p_2 рідини (*3*). Ця рідина подається в детандер III¹, де за оборотнім адіабатним процесом ($S_2 = \text{const}$) відбувається розширення (процес 3*→4*), тиск падає від p_2 до p_1 , температура також знижується від T_3 до T_4 . Рідина перетворюється у насичену вологу пару близьку до випаровування при тиску p_1 (*4*). Така насичена волога пара подається у випаровувач IV, де за ізобарним процесом ($4^* \rightarrow 1$) відбувається пароутворення за $p_1 = \text{const}$, внаслідок чого насичена волога пара стає сухою насиченою за тиску p_1 .

При випаровуванні відбирається енергія у формі тепла Q_2 від стінок камери і трубопроводу та холодоносія і, таким чином, досягається холодниковий ефект.

Ефективність цього процесу визначається холодниковим коефіцієнтом ε_1 за Q_2 :

$$\varepsilon_1 = \frac{Q_2}{L_0} = \frac{Q_2}{Q_0} = \frac{Q_2}{Q_1 - Q_2}, \quad (1)$$

де L_0 – робота циклу;

Q_0 – тепло циклу.

У зв'язку з тим, що детандер є дорогою і складною машиною, то його замінюють дроселем III².

Під час проходження насиченої рідини холодоагенту (*3) при тиску p_2 через дросель III² за ізентальпним процесом $h = \text{const}$ відбувається зменшення тиску від p_2 до p_1 і зменшення температури від T_3 до T_4 (процес 3→4). Насичена волога пара холодоагенту (*4) подається у випаровувач IV і процес продовжується. Стан насиченої вологої пари при p_1 після дроселя (*4) відрізняється більшим ступенем сухості (x), ніж після детандера:

$$x = \frac{m_{\text{сухої пари}}}{m_{\text{вол. пари}}} = \frac{m_{\text{сухої пари}}}{m_{\text{сухої пари}} + m_{\text{рідини}}};$$

$$(0 \leq x \leq 1) \text{ або } (0\% \leq x \leq 100\%)$$

Суха насичена пара (*1) холодоагенту повертається у цикл. Цей цикл та відповідні процеси зображені на рис. 4 у T-S-координатах. Точки на діаграмі рис. 4 відповідають рис. 3.

Холодниковий ефект цього циклу дорівнює:

$$Q_{\Sigma} = Q_2. \quad (2)$$

2.3.2. Двоступенева устава.

На рис. 5 приведена схема циклу двоступенєвої парової холодникової устави. Суха насичена пара холодоагенту 1-го ступеня при тиску p_1'' (*1'') стискається компресором I¹ за адіабатним оборотнім процесом ($S_1 = \text{const}$) (1'→2') від p_1' до p_2' . Пара стає перегрітою (*2') і подається в конденсатор II¹, в якому за допомогою охолоджувальної рідини (вода, росіл тощо) і відведення енергії у формі тепла Q_1' за ізобарним процесом $p_2' = \text{const}$ (процес 2'→3') відбувається охолодження перегрітої пари і конденсація до насиченої рідини (*3'). При подальшому охолодженні насиченої рідини холодоагенту під час проходження через дросель III¹ за ізентальпним процесом $h_1 = \text{const}$ відбувається зменшення тиску від p_2' до p_1' і рідина перетворюється в насичену вологу пару (процес 3'→4'). Ця пара холодоагенту 1-го ступеня (*4') подається у випаровувач IV¹ (1-го ступеня), що є одночасно конденсатором II² (2-го ступеня). Під час випаровування відбирається енергія у формі тепла Q_2' від стінок випаровувача, трубопроводу, через який проходить холодоагент 2-го ступеня, внаслідок чого насичена волога пара стає сухою насиченою при тиску $p_1' = \text{const}$ (4'→1'). За рахунок відведення енергії у формі тепла $Q_2' = Q_1''$ від стінок камери частина насиченої вологої пари холодоагенту 2-го ступеня за ізобарно-ізотермним процесом $p_2'' = \text{const}$ і $T_2'' = T_3'' = \text{const}$ конденсується (2''→3'') у конденсаторі II² і пара стає насиченою рідиною (*3''). При проходженні такої рідини через дросель III² за ізентальпним процесом $h_2'' = \text{const}$ відбувається зменшення тиску від p_2'' до p_1'' і температури від T_3'' до T_4'' (процес 3''→4'').

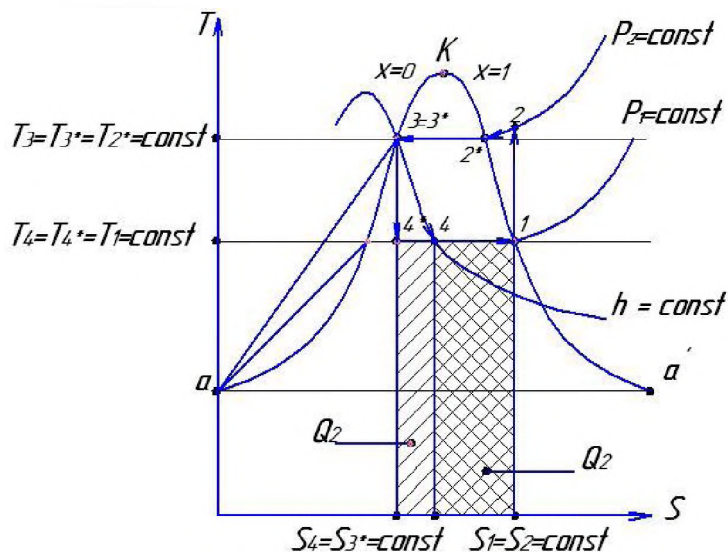


Рис. 4. T-S-діаграма циклу одноступенєвої парової компресійної холодникової устави.

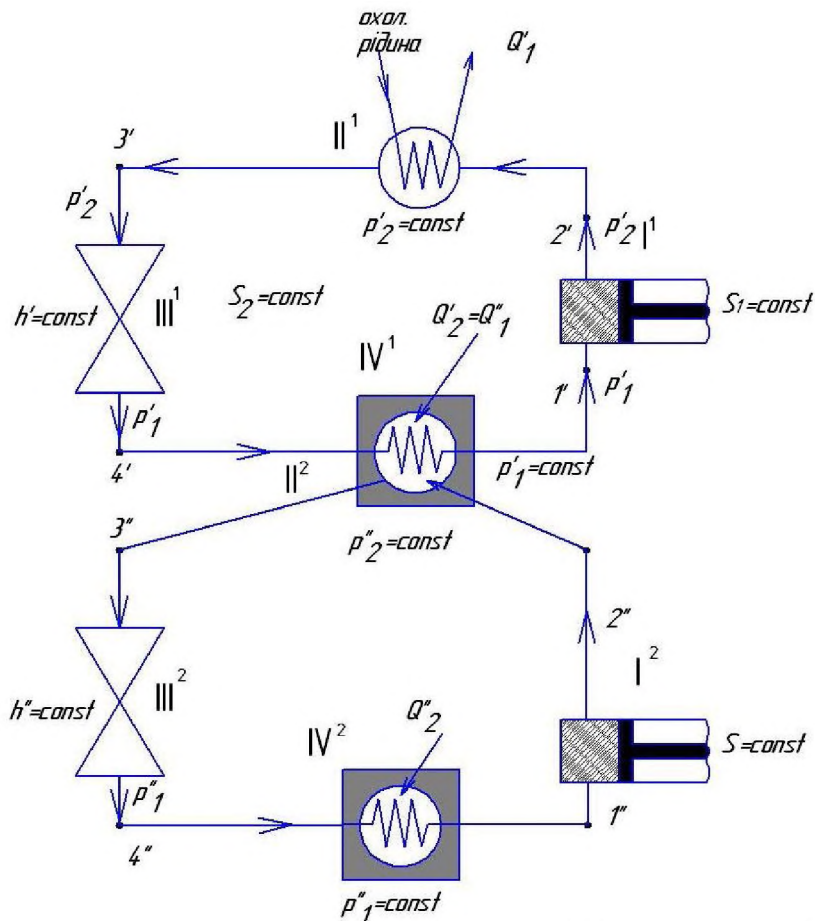


Рис. 5. Схема циклу двоступеневої парової компресійної установи: I', I'' – компресори; II', II'' – конденсатори; III', III'' – дроселі; IV', IV'' – випаровувачі.

Насичена рідина холодоагенту 2-го ступеня стає насиченою вологою парою при тиску p_1'' (•4''). Ця пара подається у випаровувач IV², де за ізобарним процесом $p_1'' = \text{const}$ відбувається пароутворення (процес 4''→1''), внаслідок чого від стінок випаровувача відбирається енергія у формі тепла Q_2'' і насичена волога пара холодоагенту 2-го ступеня стає сухою насиченою при тиску p_1'' (•1''). Ця суха насичена пара стискається компресором I² за оборотнім адіабатним процесом

$S_2'' = \text{const}$ (процес 1''→2'') від тиску p_1'' до p_2'' і пара стає перегрітою (•2''). Ця пара при $p_2'' = \text{const}$ і подається в конденсатор-випаровувач II²=IV¹ і цикл замикається.

Холодниковий ефект цього циклу дорівнює:

$$Q_{\Sigma} = Q_2' + Q_2'' \quad (3)$$

Цей процес зображено на рис. 6 у T-S-координатах.

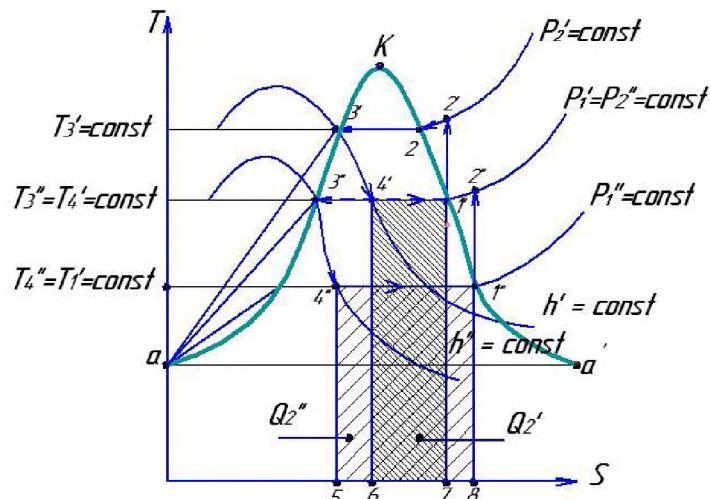


Рис. 6. T-S-діаграма циклу двоступеневої парової компресійної установи.

2.4. Цикл наднизького охолодження.

Ще один приклад використання дроселя у циклах наднизького охолодження. Схема циклу наднизького охолодження приведена на рис. 7. Перегріта пара холодоагенту (•1) при тиску p_1 всмоктується в компресорі I, який стискає її від p_1 до p_2 за ізотермним процесом $T_1=T_2=\text{const}$ (процес 1→2). Ця перегріта пара при p_2 послідовно проходить через два теплообмінники (холодники) Π^1 і Π^2 , у яких за $p_2=\text{const}$ (процес 2→3 та 3→4) послідовно через стінку теплообмінника охолоджується зустрічним холодним потоком перегрітої пари (8→9→1) при $p_1=\text{const}$. У (•3) перегріта пара відбирається після теплообмінника-холодника Π^2 при тиску p_2 і подається в детандер V, де за оборотнім адіабатним процесом (процес 3→8) або за необоротнім адіабатним процесом (процес 3→8') розширюється від p_2 до p_1 та охолоджується від T_3 до T_8 або $T_{8'}$ (•8) або (•8'). Далі пара закритичного стану (•4) проходить через дросель III, де за ізентальпним процесом $h=\text{const}$ (процес

4→5) відбувається її розширення – зменшення тиску від p_2 до p_1 і температури від T_4 до T_5 , внаслідок чого ця пара стає насиченою вологою при p_1 . Така пара, попадаючи у збірник-конденсатор IV, конденсується до насиченої при p_1 рідкого холодоагенту за ізобарним процесом $p_1=\text{const}$ (він же ізотермний процес $T_5=T_6=T_7=\text{const}$). Насичена рідина холодоагенту (•6) частково охолоджується за ізобарним процесом $p_1=\text{const}$ до T_6 (процес 6→6'). Несконденсована пара холодоагенту у збірнику-конденсаторі IV, випаровуючись із насиченої вологої пари (•5) за $p_1=\text{const}$, $T_5=T_7=\text{const}$, стає сухою насиченою і далі в (•8), змішується із холодоагентом, після розширення в детандері V. Така пара надходить у теплообмінник-холодник Π^2 , де забирає тепло у прямохідної пари при $p_1=\text{const}$, а далі проходить через теплообмінник-холодник Π^1 і далі повертається в цикл у (•1). Цей процес зображений у T-S-координатах на рис. 8. Точки на рис. 7 та 8 співпадають.

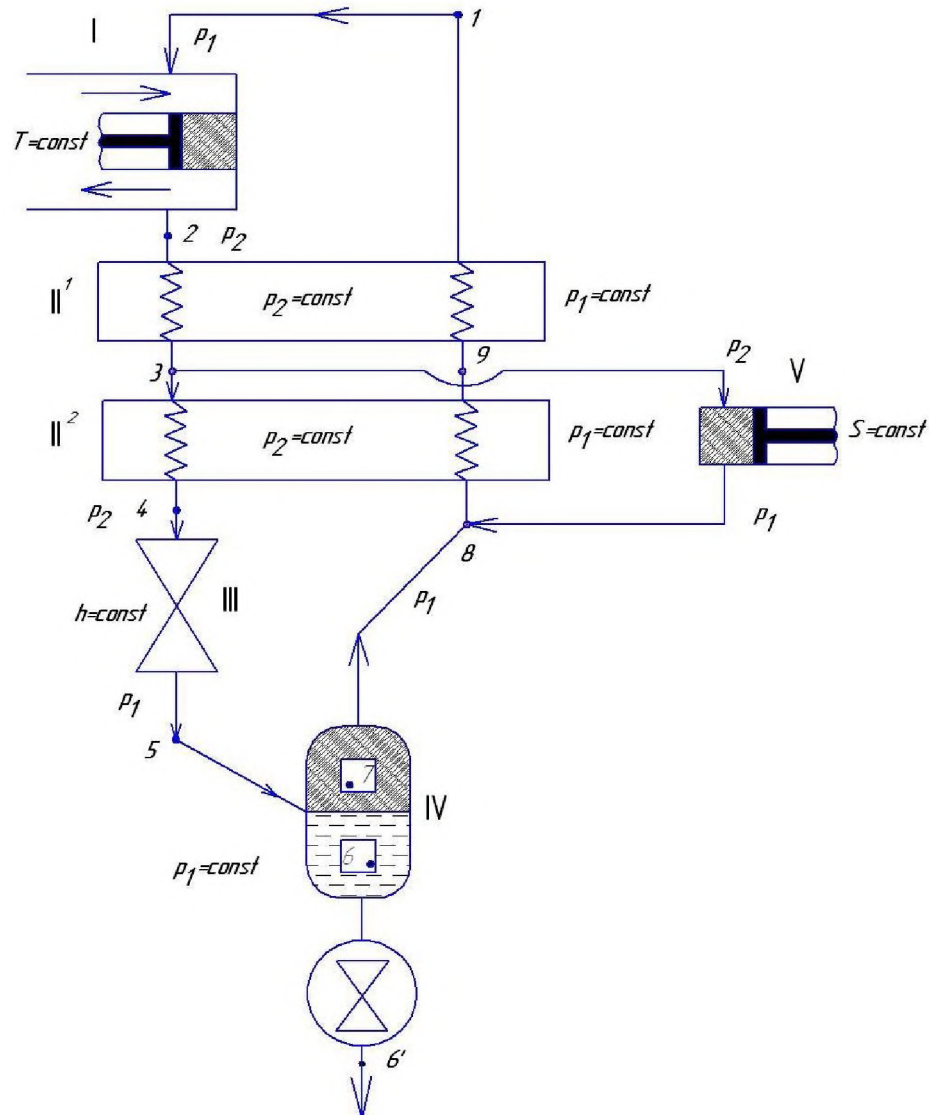


Рис. 7. Схема циклу наднизького охолодження: I – компресор ($T = \text{const}$); Π^1 , Π^2 – теплообмінники-холодники; III – дросель; IV – збірник-конденсатор; V – детандер.

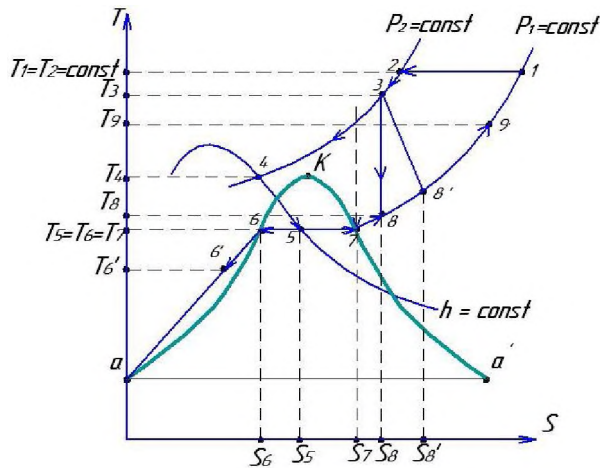


Рис. 8. T-S-діаграма циклу наднизького охолодження.

2.5. Абсорбційна холодильна устатка.

На рис. 9 показана схема циклу абсорбційної холодильної устатки. Холодний рідкий холодоагент, який складається з $H_2O + NH_3$, при p_1 (•1) адиабатно $S_1=S_2=const$ (процес 1→2) стискається від тиску p_1 до p_2 у помпі I і при p_2 подається в парогенератор II, де, завдяки підведеній енергії у формі тепла Q (яка чисельно дорівнює площі $F_{81243118}$ на рис. 8) відбувається пароутворення за ізобарним процесом $p_2=const$ (процес 2→3) до сухої насиченої пари (переважно амоніаку) при тиску p_2 , внаслідок чого відбувається збільшення кількості низькоконцентрованого розчину холодоагенту (переважно води) у парогенераторі. Ця пара надходить у конденсатор III, в якому, за ізобарним процесом $p_2=const$ (процес 3→4) за допомогою охолоджувальної рідини і відведення енергії у формі тепла Q_1 (яка чисельно дорівнює

площі $F_{1134911}$ на рис. 8), відбувається конденсація пари до насиченої рідини (переважно амоніаку) (•4) при тиску p_2 . Ця насичена при p_2 рідина проходить через дросель IV^1 , у якому за ізентальпним процесом $h_1=const$ (процес 4→5), відбувається падіння тиску від p_2 до p_1 , температури від T_4 до T_5 і перетворення насиченої рідини амоніаку в насичену за p_1 вологу пару NH_3 . Така насичена волога пара проходить через теплообмінник випаровувача V, де за ізобарним процесом $p_1=const$ відбувається випаровування цієї пари (процес 5→6), внаслідок чого відбирається енергія у формі тепла Q_2 (яка чисельно дорівнює площі $F_{5612105}$ на рис. 10) від стінок камери, трубопроводу та проміжної рідини.

Утворюється суха насичена пара NH_3 при тиску p_1 , яка спрямовується в абсорбер VI, де відбувається хемосорбція у розчині води + амоніак за ізобарним процесом при $p_1=const$ (процес 6→1). В абсорбері амоніак хемічно взаємодіє з утворенням амоній гідроксиду:



Так як реакція екзотермічна, тому:

1. Для покращення процесів поглинання розчин амоніаку необхідно охолоджувати (відбирати енергію у формі тепла Q_3 , яка чисельно дорівнює площі F_{618126} на рис. 10).

2. Потрібно також підтримувати малу концентрацію розчину амоніаку в абсорбері, яка досягається тим, що залишковий малоконцентрований розчин амоніаку у воді при p_2 відбирається з парогенератора II (•3') і пропускається через дросель IV^2 , де за ізентальпним процесом $h_2=const$ (процес 3'→7) відбувається падіння тиску від p_2 до p_1 і температури від $T_{3'}$ до T_7 .

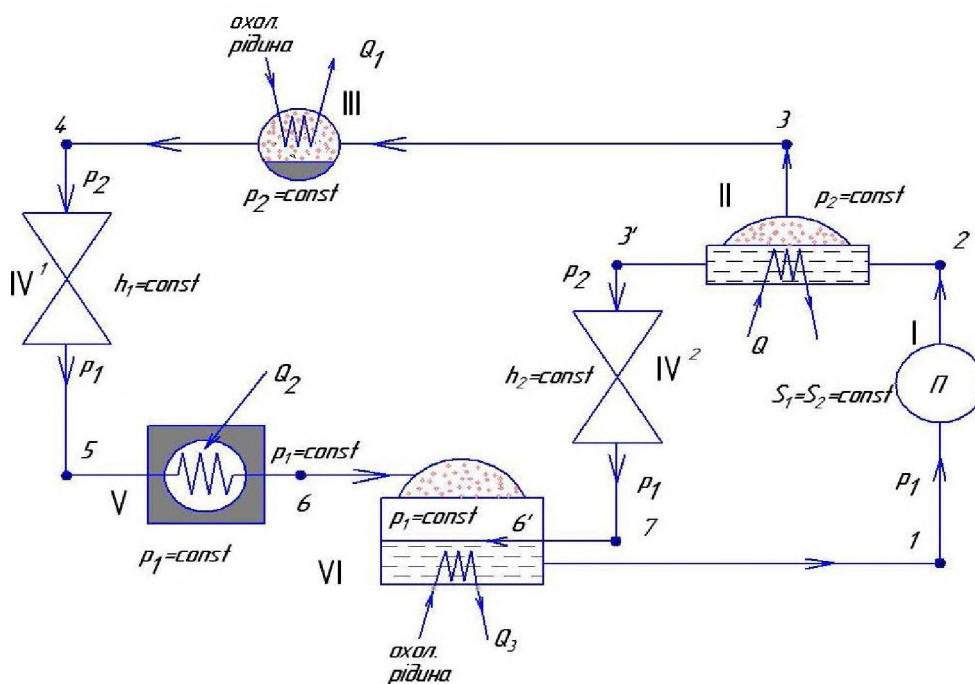


Рис. 9. Схема циклу абсорбційної холодильної устатки: I – помпа; II – парогенератор; III – конденсатор; IV^1, IV^2 – дроселі; V – випаровувач; VI – абсорбер.

На виході з дроселя IV^2 утворюється перегріта пара (в основному води) при тиску p_1 ($\bullet 7$), яка спрямовується в абсорбер VI, внаслідок чого вона ізобарно $p_1 = \text{const}$ ($7 \rightarrow 6'$) охолоджується та конденсується ($6' \rightarrow 1$) до насиченої рідини за тиску p_1 (процес $7 \rightarrow 6' \rightarrow 1$) і цикл замикається ($\bullet 1$).

Цей цикл представлений на рис. 10 у T-S-координатах.

2.6. Пароежекторна холодильна устава.

На рис. 11 показана схема циклу пароежекторної холодильної устави. Холодний рідкий холодоагент за тиску p_2 ($\bullet 1$) стискається в помпі I від тиску p_2 до p_3 за адиабатним процесом $S_1 = S_2 = \text{const}$ (процес $1 \rightarrow 2$) і подається у парогенератор II, де, за рахунок підведення енергії у формі

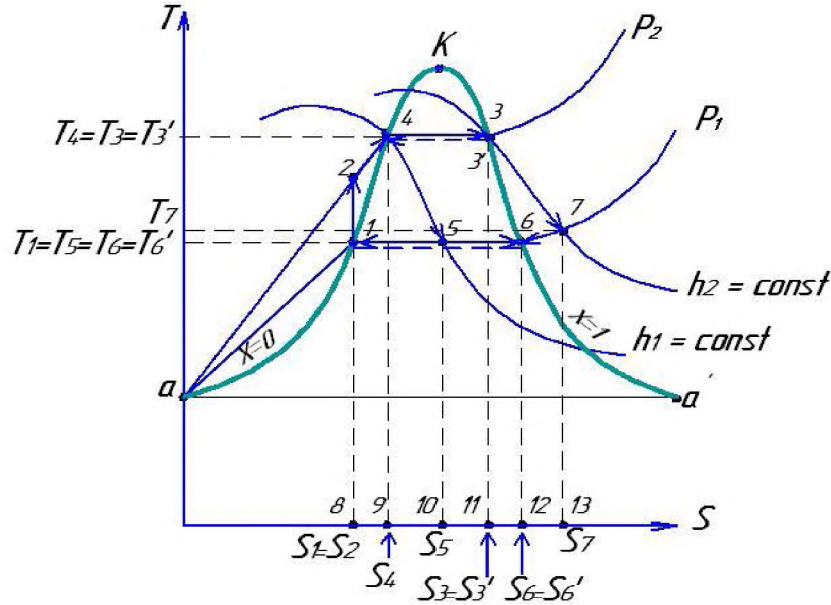


Рис. 10. T-S-діаграма циклу абсорбційної холодильної устави.

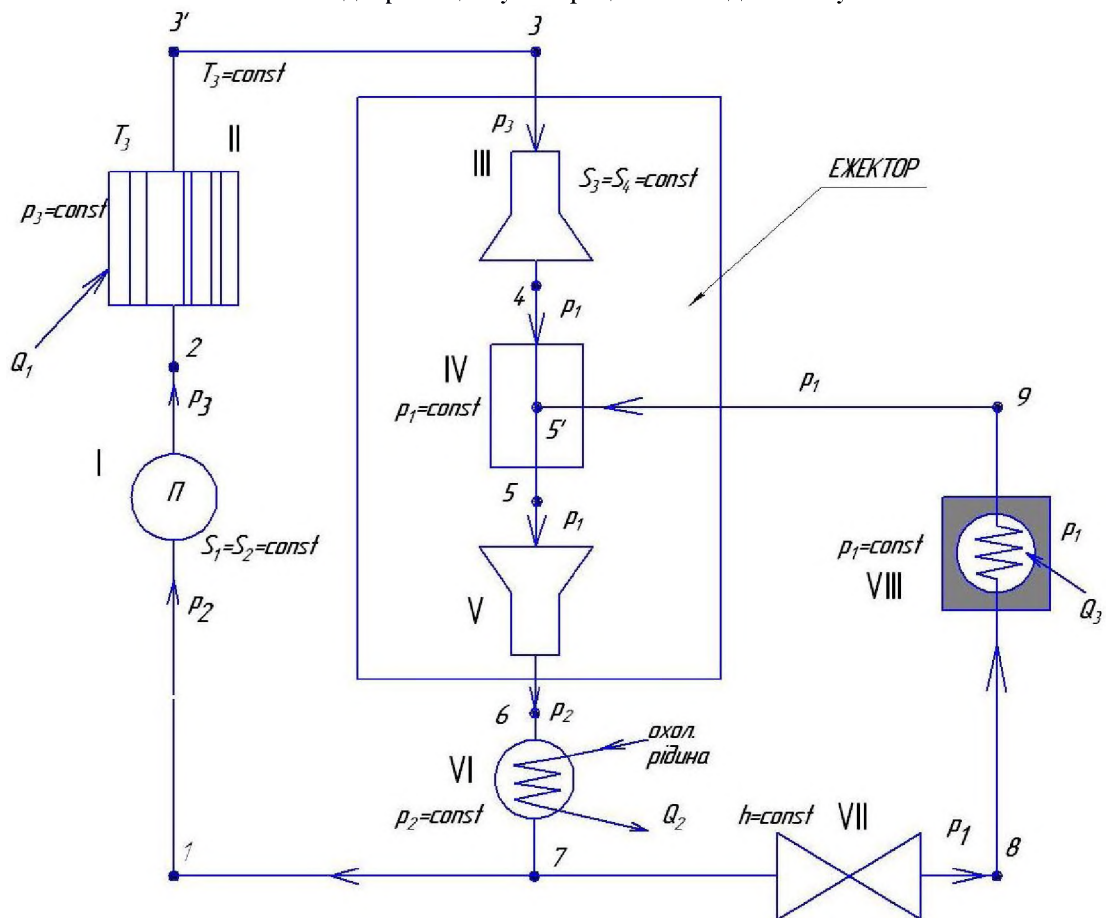


Рис. 11. Схема циклу пароежекторної холодильної устави: I – помпа; II – парогенератор; III – сопло; IV – камера змішування; V – дифузор; VI – конденсатор; VII – дросель; VIII – випаровувач.

тепла Q_1 (яка чисельно дорівнює площі $F_{10,123,312,10}$ на рис. 12), відбувається нагрів холодного холодоагенту (процес $2 \rightarrow 3'$) за ізобарним процесом $p_3 = \text{const}$ та пароутворення при $p_3, T_3 = \text{const}$ (процес $3' \rightarrow 3$), у наслідок чого утворюється суха насичена пара при тиску p_3 (*3), яка надходить в ежектор, який складається із сопла III, камери змішування IV і дифузора V. Суха насичена пара (*3) проходить через сопло III, де, за адіабатним оборотним процесом $S_3 = S_4 = \text{const}$, відбувається зменшення тиску від p_3 до p_1 , тобто відбувається розширення пари, і температура зменшується від T_3 до T_4 (процес $3 \rightarrow 4$) або необоротним адіабатним процесом $S_3 < S_4$. На виході із сопла III (*4) утворюється насичена волога пара з високим ступенем сухості при тиску p_1 (*4), яка надходить у камеру змішування IV, де вона за ізобарним процесом $p_1 = \text{const}$ змішується із сухою насиченою парою, яка виходить із випаровувача VIII при тиску p_1 (процес $4 \rightarrow 5$). Утворюється (*5') насичена волога пара з надвисоким ступенем сухості (*5). Така пара проходить через дифузор V, де стискається від p_1 до p_2 , при цьому температура збільшується від T_5 до T_6 , за оборотним адіабатним процесом $S_5 = S_6 = \text{const}$ (процес $5 \rightarrow 6$) або за необоротним адіабатним процесом $S_5 < S_6''$ (процес $5 \rightarrow 6''$) і стає (*6) або (*6'') перегрітою парою при тиску p_2 . Ця пара надходить у конденсатор VI, де за допомогою холодної рідини через стінку трубопроводу відбирається енергія у формі тепла Q_2 (яка чисельно дорівнює площі $F_{146,6,711,14}$ на рис. 10), внаслідок чого перегріта пара (*6) охолоджується (процес $6 \rightarrow 6'$) при сталому тиску $p_2 = \text{const}$ та ізобарно-ізотермно ($p_2, T_7 = \text{const}$) конденсується (процес $6' \rightarrow 7$) до насиченої рідини холодоагенту при p_2 . Після чого (*7) насичена при тиску p_2 рідина холодоагенту розділяється навпіл. Одна частина

ізобарно $p_2 = \text{const}$ охолоджується (процес $7 \rightarrow 1$) в трубах і повертається у цикл (*1). Таким чином, з цієї частиною конденсату цикл замикається в (*1). А інша частина проходить через дросель VII, де за ізентальпним процесом $h = \text{const}$ (процес $7 \rightarrow 8$) відбувається падіння тиску від p_2 до p_1 і температури від T_7 до T_8 . Насичена рідина при p_2 (*7) стає насиченою вологою парою при тиску p_1 (*8) з малим ступенем сухості. Така пара надходить у випаровувач VIII, де за ізобарним процесом $p_1 = \text{const}$ відбувається випаровування пари (процес $8 \rightarrow 9$), внаслідок чого відбирається енергія у формі тепла Q_3 (яка чисельно дорівнює площі $F_{12,8,9,15,12}$ на рис. 10) від стінок холодоильної камери і трубопроводів, а насичена волога пара при p_1 стає сухою насиченою парою при p_1 (*9). Така пара при p_1 надходить до камери змішувача IV ежектор і цикл замикається в (*5') й з цією частиною конденсату. Цей цикл показаний на рис. 12 у T-S-координатах.

2.7. Завдання для самостійної роботи.

1. Як зміниться цикл пароежекторної холодної устави, якщо після котла пара холодоагенту стане вологою насиченою, а пара після дифузора стане за більш високого тиску і дросель буде замінено детандером? Відповідь проілюструйте в p-v-координатах.

2. Як зміниться цикл абсорбційної холодної устави, якщо помпа буде нагнітати рідкий насичений холодоагент до більш високого тиску, а дросель замінити на детандер? Відповідь проілюструйте в p-v- та h-s-координатах.

3. Як зміниться цикл пароежекторної холодної устави, якщо помпа буде нагнітати рідкий холодоагент до більш високого тиску, а після сопла насичений вологий холодоагент стане за більш низького тиску і температури? Відповідь проілюструйте в p-v-координатах.

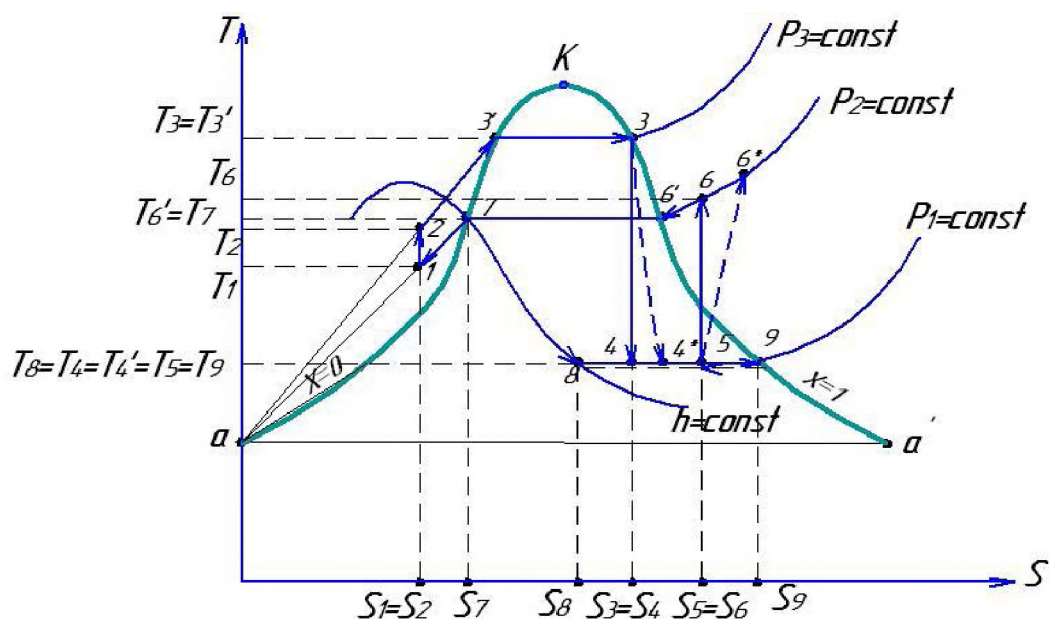


Рис. 12. T-S-діаграма циклу пароежекторної холодної устави.

4. Як зміниться цикл пароежекторної холодної устави, якщо після котла пара холодоагенту стане вологою насиченою, а пара після дифузора стане за більш високого тиску і дросель буде замінено детандером? Відповідь проілюструйте в $h-s$ -координатах.

5. Як зміниться цикл пароежекторної холодної устави, якщо помпа буде нагнати рідкий холодоагент до більш високого тиску, а після сопла насичений вологий холодоагент стане за більш низького тиску і температури? Відповідь проілюструйте в $h-s$ -координатах.

6. Як зміниться цикл абсорбційної холодної устави, якщо помпа буде нагнати рідкий насичений холодоагент до більш високого тиску, а дросель замінити на детандер? Відповідь проілюструйте в $h-s$ - та $p-v$ -координатах.

7. Як зміниться цикл одноступеневої парової компресійної холодної устави, якщо компресор буде нагнати холодоагент до більш високого тиску, а дросель замінити детандером? Відповідь проілюструйте в $h-s$ - та $p-v$ -координатах.

8. Як зміниться цикл одноступеневої парової компресійної холодної устави, якщо після дроселя волога пара холодоагенту стане за більш низького тиску і низької температури, а процес стискання холодоагенту в компресорі буде необоротний замість оборотного? Відповідь проілюструйте в $h-s$ -координатах.

9. Зобразити цикл пароежекторної холодної устави в $h-s$ -координатах.

10. Зобразити цикл абсорбційної холодної устави в $p-v$ -координатах.

11. Зобразити цикл одноступеневої парової компресійної холодної устави в $h-s$ -координатах.

12. Зобразити цикл пароежекторної холодної устави в $p-v$ -координатах.

13. Зобразити цикл двоступеневої парової компресійної холодної устави в $h-s$ -координатах.

14. Зобразити бінарний цикл в $h-s$ -координатах.

15. Зобразити цикл паросилової устави в $p-v$ -координатах.

16. Зобразити цикл паросилової устави з вторинним перегрівом пари в $h-s$ -координатах.

17. Зобразити простий парогазовий цикл з магнітогідродинамічним (МГД)-генератором в $h-s$ -координатах.

18. Паросилова устава (цикл Ренкіна): опис принципової схеми, зображення циклу в $p-v$ -, $T-s$ - та $h-s$ -координатах. Розрахунки термічного коефіцієнта корисної дії та питомої втрати пари.

19. Паросилова устава з вторинним перегрівом пари: опис принципової схеми, зображення циклу в $p-v$ -, $T-s$ - та $h-s$ -координатах.

20. Регенеративна паросилова устава: опис принципової схеми, зображення циклу в $p-v$ -, $T-s$ - та $h-s$ -координатах.

21. Бінарна паросилова устава: опис принципової схеми, зображення циклу в $p-v$ -, $T-s$ -координатах.

22. Парогазова устава: зображення циклу в $p-v$ -, $T-s$ - та $h-s$ -координатах.

23. Устава з МГД-генератором: опис принципової схеми, зображення циклу в $p-v$ -, $T-s$ -координатах.

24. Парова компресійна холодна устава (одноступенева та двоступенева): зображення циклу в $p-v$ -, $T-s$ -координатах.

25. Пароежекторна холодна устава: опис принципової схеми, зображення циклу в $T-s$ - та $h-s$ -координатах.

26. Абсорбційна холодна устава: опис принципової схеми, зображення циклу в $T-s$ - та $h-s$ -координатах.

27. Устава наднизького охолодження (криогенний цикл): опис принципової схеми, зображення циклу в $p-v$ -, $T-s$ - та $h-s$ -координатах.

Рекомендована література

Основна література

1. **Сіренко Г.О., Базюк Л.В.** Тепло- і масообмін у хемічній технології. – Івано-Франківськ: Прикарп. нац. ун-т ім. В. Стефаника, 2011.
2. **Исаченко В.П., Осипова В.А., Сукомел А.С.** Теплопередача. – Москва: Энергия, 1975. – 448с.
3. **Кирилин В.А., Сычев В.В., Шейндлин А.Е.** Техническая термодинамика. – Москва: Энергия, 1968. – 472с.
4. **Нашокин В.В.** Техническая термодинамика и теплопередача. – Москва: Высш. шк., 1980. – 469с.
5. **Спэрроу Э.М., Сесс Р.Д.** Теплообмен излучением / Пер. с англ. С.З. Сориц, Л.М. Сорокопуда. – Ленинград: Энергия, 1971. – 295с.

Додаткова література

1. **Алексеев Г.Н.** Общая теплотехника. – Москва: Высшая школа, 1980. – 552с.
2. **Бондарев В.А., Гринкевич Р.Н., Процкий А.Е.** Общая теплотехника. – Минск: Вышэйша шк., 1967. – 320с.
3. **Жуковський В.С.** Технічна термодинаміка. – Київ: Держтехвидав, 1953. – 442с.

4. **Жуховицкий А.А., Шварцман Л.А.** Кратный курс физической химии. – Москва: Металлургия, 1979. – 368с.
5. **Костенко Г.М.** Технічна термодинаміка. – Київ: Держтехвидав, 1958. – 420с.
6. **Костерев Ф.М., Кушнырев В.И.** Теоретические основы теплотехники. – Москва: Энергия, 1978. – 360с.
7. **Кузовлев В.А.** Техническая термодинамика и основы теплопередачи / Под ред. Л.Р. Стоцкого. – Москва: Высш. шк., 1975. – 303с.
8. **Лариков Н.Н.** Теплотехника. – Москва: Стройиздат, 1985. – 432с.
9. **Недужий И.А., Алабовский А.Н.** Техническая термодинамика и теплопередача. – Киев: Высш. шк., 1978. – 224с.
10. **Остафійчук Б.К., Яцура М.М., Гамарник А.М.** Фізика. Механіка. Молекулярна фізика і термодинаміка. Ч.1. – Івано-Франківськ: Гостинець, 2006. – 308с.
11. **Поршаков Б.П., Романов Б.А.** Основы термодинамики и теплотехники. – Москва: Недра, 1988. – 300с.
12. **Теплотехника** / А.М. Архаров, С.И. Исаев, И.А. Кожин и др.; под общ. ред. В.И. Крутова. – Москва: Машиностроение, 1986. – 432с.
13. **Теплотехника** / Б.И. Бахмачевский, В.Г. Зах, Г.П. Лызо и др.; под ред. А.А. Щукина, И.Н. Сушкина. – Москва: Металлургиздат, 1963. – 605с.
14. **Теплотехника** / И.Т. Швець, В.И. Толубинский, А.И. Алабовский и др. – Киев: Высш. шк., 1976. – 518с.
15. **Теплотехніка** / І.Т. Швець, В.І. Голубінський, М.Ф. Кіраковський та ін. – Київ: Вища шк., 1969. – 588с.
16. **Теплотехника** / М.М. Хазен, Г.А. Матвеев, М.Е. Грицевский, Ф.П. Казакевич; под ред. Г.А. Матвеева. – Москва: Высш. шк., 1981. – 480с.
17. **Теплотехника** / А.А. Щукин, И.Н. Сушкин, Р.Г. Зах и др. – Москва: Металлургия, 1973. – 480с.
18. **Техническая термодинамика** / Е.В. Дрыжаков, Н.П. Козлов, Н.К. Корнейчук и др.; под ред. В.И. Крутова. – Москва: Высш. шк., 1971. – 472с.
19. **Техническая термодинамика** / Под ред. В.И. Крутова. – Москва: Высш. шк., 1981. – 439с.
20. **Техническая термодинамика** / Под ред. А.С. Телегина. – Москва: Металлургия, 1992. – 240с.
21. **Юдаев Б.Н.** Техническая термодинамика и теплопередача. – Москва: Высш. шк., 1988. – 479с.

Сіренко Г.О. – доктор технічних наук, професор, завідувач кафедри неорганічної та фізичної хемії.

Базюк Л.В. – викладач кафедри неорганічної та фізичної хемії.

Артус Я.І. – студентка IV курсу кафедри неорганічної та фізичної хемії.

Рецензент

Мідак Л.Я. – кандидат хімічних наук, доцент кафедри неорганічної та фізичної хемії Прикарпатського національного університету імені Василя Стефаника.